

ニュートリノ輻射輸送を取り入れた 3次元一般相対論超新星爆発計算

(Kuroda, Kotake & Takiwaki, in preparation)

国立天文台理論研究部

黒田 仰生

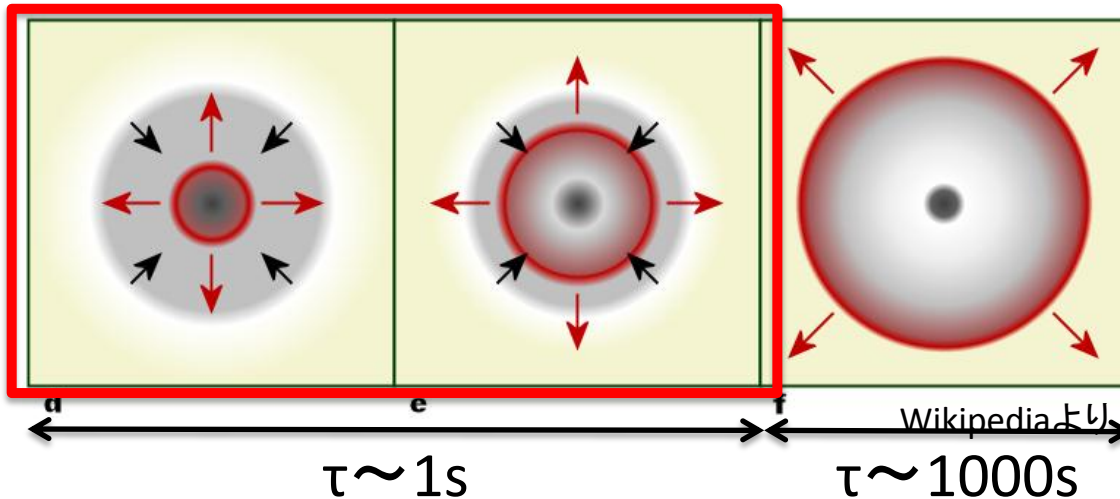
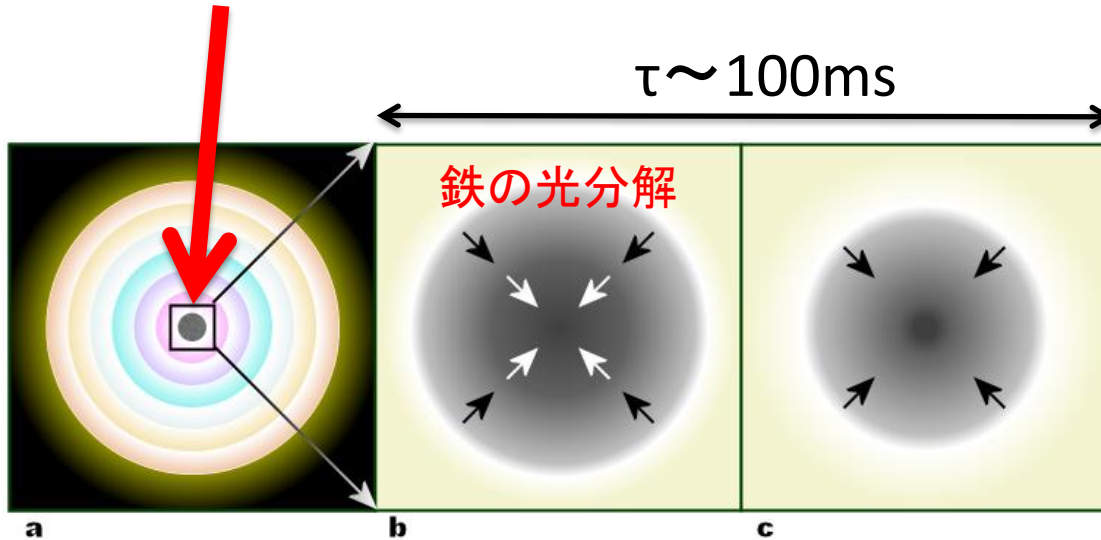
固武 慶

滝脇 知也

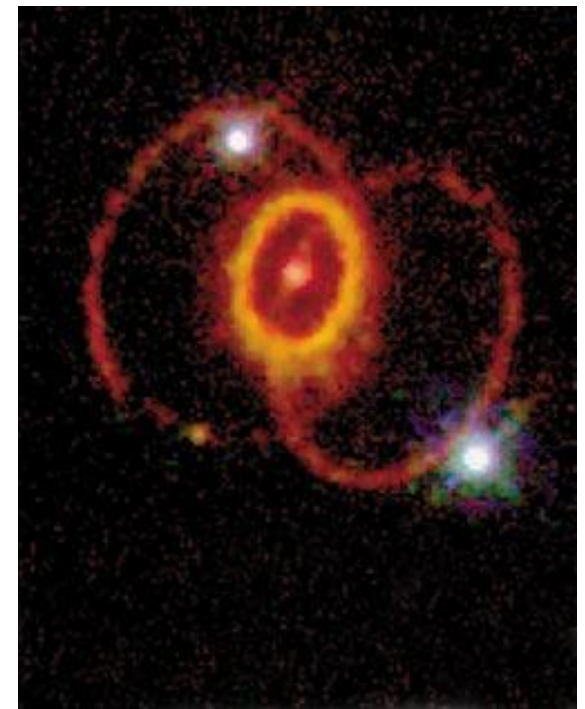
1. 重力崩壊型超新星爆発とは？

～10太陽質量星以上の星は
半径数千kmの鉄核を形成

$\tau \sim 100\text{ms}$



1987A



HST, '99

1. 重力崩壊型超新星爆発とは？

近年様々な数値計算で超新星爆発の報告がなされている。
1次元球対称では爆発しないが、多次元になると爆発する。

✓ Neutrino Driven Explosion

2D : Buras+, '06, Marek&Janka,'09, Suwa+',10

3D : Takiwaki+',11

✓ Acoustic mechanism

2D : Burrows+',06

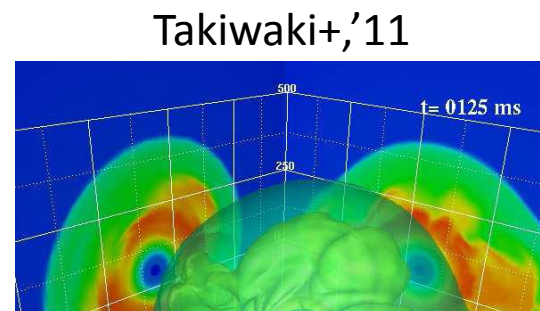
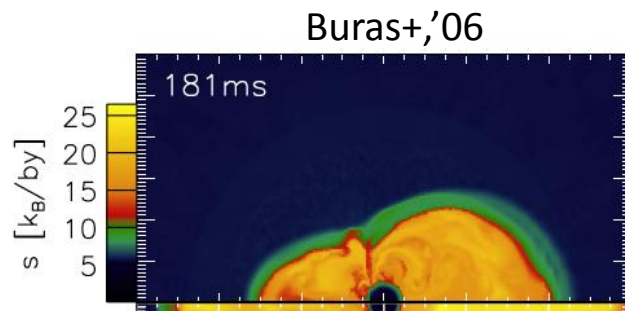
✓ Magneto-rotational Explosion

2D: Yamada&Sawai,'04, Kotake+'05

, Burrows+'07, Takiwaki+'09

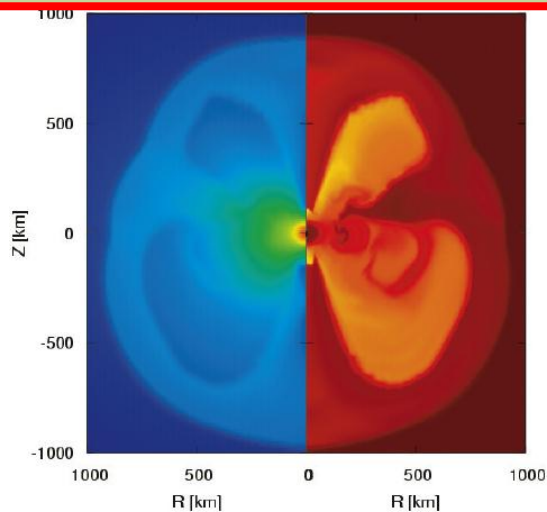
3D: Mikami+',08, Scheidegger+',10, KT&Umeda,'10

1. 重力崩壊型超新星爆発とは？

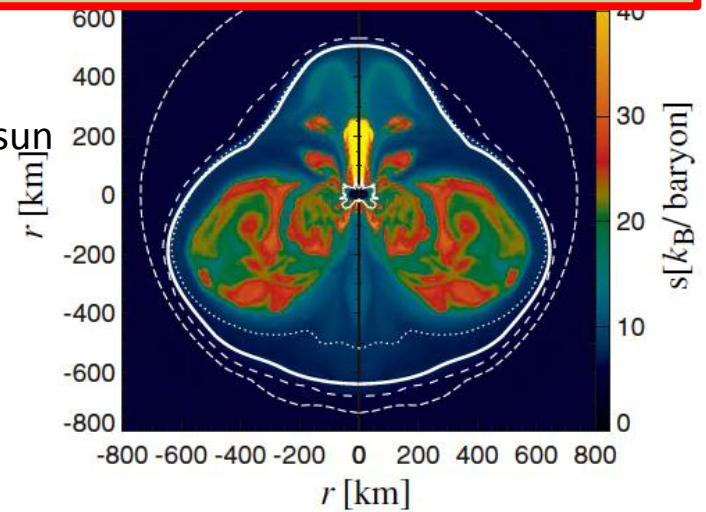


現在までの爆発は軽い星に限定。
より重い星へと議論を移していく場合、
一般相対論が必要

$13M_{\text{sun}}$



$15M_{\text{sun}}$



2. 本研究の目的

- GRの強重力場の影響で爆発は不利になるのではないか？
- そうではなく、そもそも解放された重力エネルギーで爆発を引き起こすから、爆発には有利なのでは？

❖ ニュートリノ加熱型超新星爆発計算における、一般相対論の影響は？

過去の大質量星の重力崩壊計算はどうなっているか？

- ✓ Post Newtonian + **Neutrino radiation** (Buras+, '06, Marek+, '09)
- ✓ **Full GR** + wo Micro Physics (Shibata&Sekiguchi, '05, Ott+, '11)
- ✓ **Full GR** + Neutrino Cooling (Leakage) (Sekiguchi, '10)

3. GR-Radiation-(M)HD CODE の紹介

$$G^{\alpha\beta} = 8\pi T^{\alpha\beta}$$
$$\equiv 8\pi \left(T_{fluid}^{\alpha\beta} + T_{radiation}^{\alpha\beta} \right)$$

コードの特徴

- ① 一般相対論 (BSSN方式)
 - ② 相対論的理想磁気流体 (CT法)
 - ③ 3次元AMR (Hilbert SFC)
 - ④ ニュートリノ輻射
(冷却項(leakage) Sekiguchi,'10
+加熱項(truncated method)) Shibata+, '11
- } Kuroda & Umeda, '10

BSSN equations (17 variables): 4-th order in space and 3 steps in time

$$(\partial_t - \mathcal{L}_\beta)\tilde{\gamma}_{ij} = -2\alpha\tilde{A}_{ij}$$

$$(\partial_t - \mathcal{L}_\beta)\phi = -\alpha K/6$$

$$(\partial_t - \mathcal{L}_\beta)\tilde{A}_{ij} = e^{-4\phi} [\alpha(R_{ij} - 8\pi(S_{ij} + P_{ij})) - D_i D_j \alpha]^{\text{trf}} + \alpha(K\tilde{A}_{ij} - 2\tilde{A}_{ik}\tilde{\gamma}^{kl}\tilde{A}_{jl})$$

$$(\partial_t - \mathcal{L}_\beta)K = -\Delta\alpha + \alpha(\tilde{A}_{ij}\tilde{A}^{ij} + K^2/3) + 4\pi\alpha(S_0 e^{-6\phi} + E + \gamma^{ij}(S_{ij} + P_{ij}))$$

$$(\partial_t - \beta^k \partial_k)\Gamma^i = -16\pi\tilde{\gamma}^{ij}(S_j e^{-6\phi} + F_j)$$

$$-2\alpha\left(\frac{2}{3}\tilde{\gamma}^{ij}K_{,j} - 6\tilde{A}^{ij}\phi_{,j} - \tilde{\Gamma}_{jk}^i\tilde{A}^{jk}\right)$$

$$+\tilde{\gamma}^{jk}\beta_{,jk}^i + \frac{1}{3}\tilde{\gamma}^{ij}\beta_{,kj}^k - \tilde{\Gamma}^j\beta_{,j}^i + \frac{2}{3}\tilde{\Gamma}^i\beta_{,j}^j + \beta^j\tilde{\Gamma}_{,j}^i - 2\tilde{A}^{ij}\alpha_{,j}$$

Hydrodynamic equations (10+3 variables): 2nd order in space and 2 steps in time

$$\partial_t \rho_* + \partial_i(\rho_* v^i) = 0$$

$$\begin{aligned} \partial_t S_i + \partial_j(S_i v^j + \alpha e^{6\phi} P_{\text{tot}} \delta_i^j) &= -S_0 \partial_i \alpha + S_k \partial_i \beta^k + 2\alpha e^{6\phi} S_k^k \partial_i \phi \\ &\quad - \alpha e^{2\phi} (S_{jk} - P_{\text{tot}} \gamma_{jk}) \partial_i \tilde{\gamma}^{jk} / 2 - e^{6\phi} \alpha Q^\mu \gamma_{i\mu} \end{aligned}$$

$$\begin{aligned} \partial_t \tau + \partial_i(S_0 v^i + e^{6\phi} P_{\text{tot}}(v^i + \beta^i) - \rho_* v^i) &= \alpha e^{6\phi} K S_k^k / 3 + \alpha e^{2\phi} (S_{ij} - P_{\text{tot}} \gamma_{ij}) \tilde{A}^{ij} - S_i D^i \alpha \\ &\quad + e^{6\phi} \alpha Q^\mu n_\mu \end{aligned}$$

$$\partial_t(\rho_* Y_l) + \partial_i(\rho_* Y_l v^i) = \rho_* \Gamma_l$$

v Radiation equations (12 variables) : 2nd order in space and 2 steps in time

$$\partial_t(e^{6\phi} F_i) + \partial_j[e^{6\phi}(\alpha P_i^j - \beta^j F_i)] = e^{6\phi}[-E \partial_i \alpha + F_j \partial_i \beta^j + (\alpha/2) P^{jk} \partial_i \gamma_{jk} + \alpha Q^\mu \gamma_{i\mu}]$$

$$\partial_t(e^{6\phi} E) + \partial_i[e^{6\phi}(\alpha F^i - \beta^i E)] = e^{6\phi}(\alpha P^{ij} K_{ij} - F^i \partial_i \alpha - \alpha Q^\mu n_\mu)$$

3. GR-Radiation-(M)HD CODE の紹介

Closure relation (M1 closure), cf. Shibata+, '11

$$P^{ij} = \frac{3\chi - 1}{2} P_{thin}^{ij} + \frac{3(1 - \chi)}{2} P_{thick}^{ij}$$

$$\left[\begin{array}{l} P_{thin}^{ij} = E \frac{F^i F^j}{F_k F^k} \\ P_{thick}^{ij} = \mathcal{J} \frac{\gamma^{ij} + 4\gamma^{ik} \gamma^{jl} u_k u_l}{3} + \gamma^{jk} \mathcal{H}^i u_k + \gamma^{ik} \mathcal{H}^j u_k \\ \chi = \frac{3 + 4\bar{F}^2}{5 + 2\sqrt{4 - 3\bar{F}^2}} \\ \bar{F}^2 \equiv \frac{F^i F_i}{E^2} \end{array} \right.$$

4. $15M_{\odot}$ におけるニュートリノ加熱

Progenitor: Woosley & Weaver, '95の15Msun

EOS: Shen eos (Shen+, '98)+ e^-e^+ +photon(+neutrino)

GR

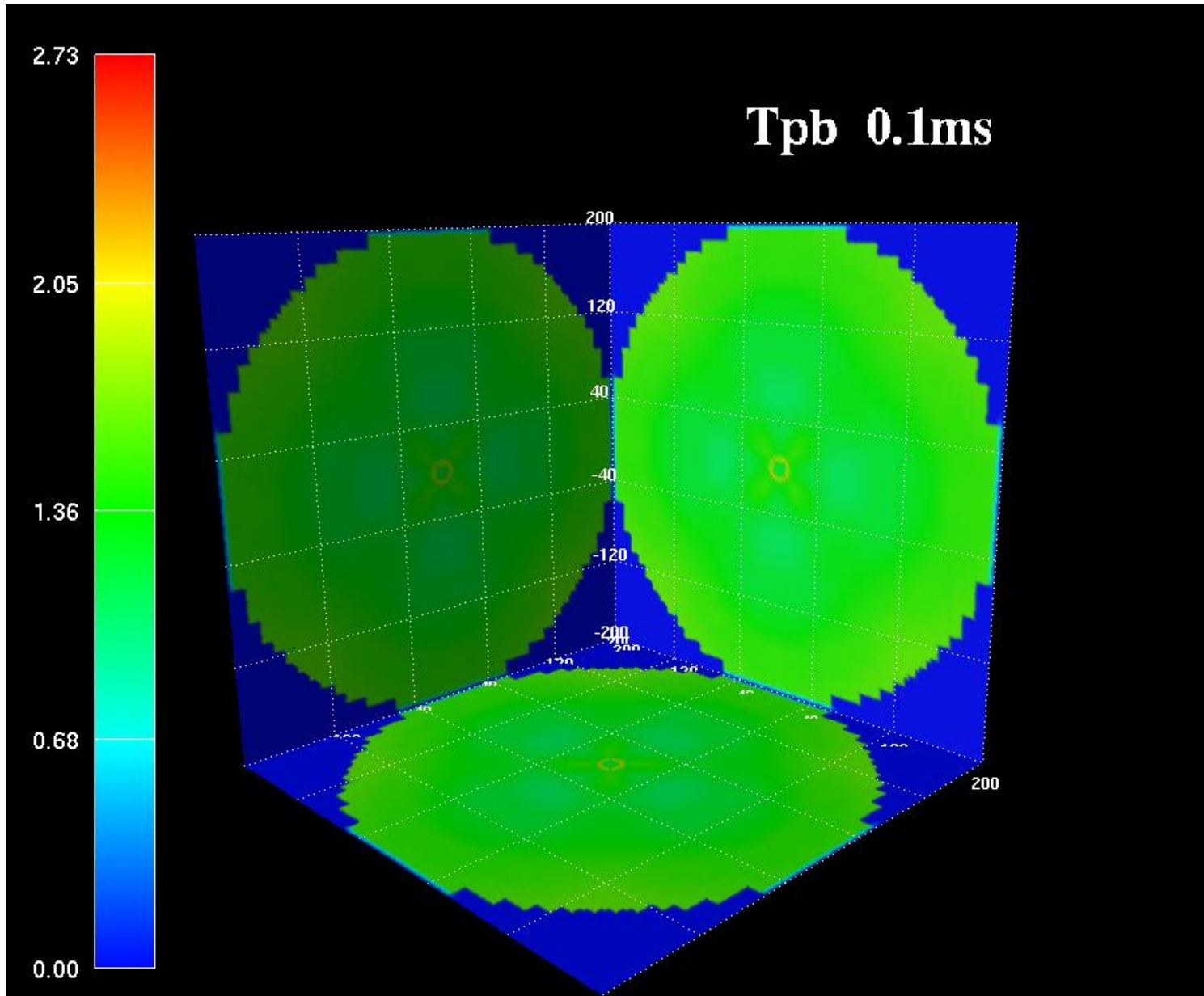
SR

3D	時空: BSSN方式	時空: $\Delta\phi=4\pi\rho_0$, $\alpha=1$, $\beta=0$, $\gamma^{ij}=\delta^{ij}$
1D	時空: BSSN方式 毎ステップ $\left\{ u^i = \frac{u^k x_k}{r^2} x^i \right\}$ を課す	時空: $\Delta\phi=4\pi\rho_0$, $\alpha=1$, $\beta=0$, $\gamma^{ij}=\delta^{ij}$ 毎ステップ $\left\{ u^i = \frac{u^k x_k}{r^2} x^i \right\}$ を課す

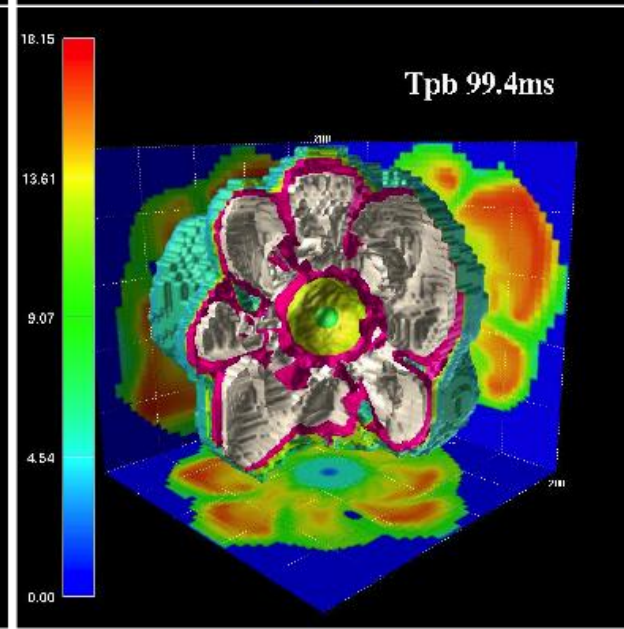
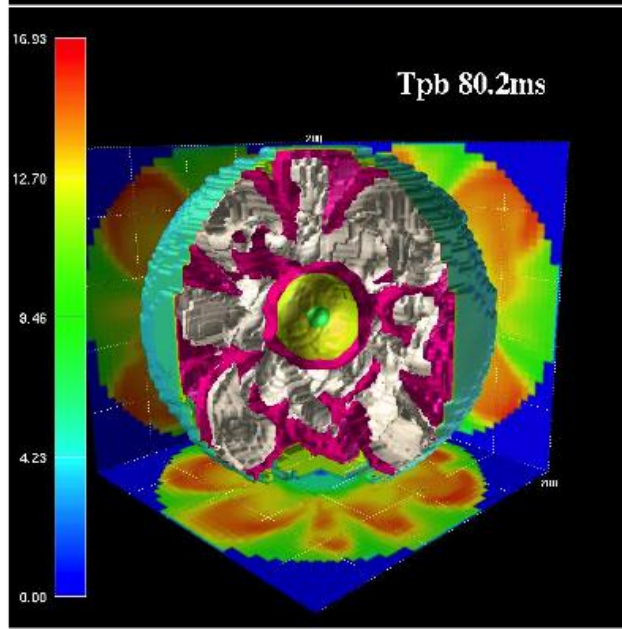
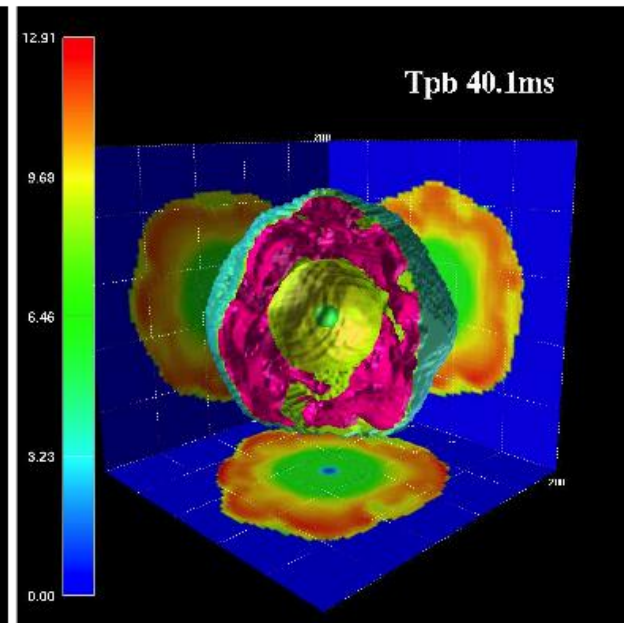
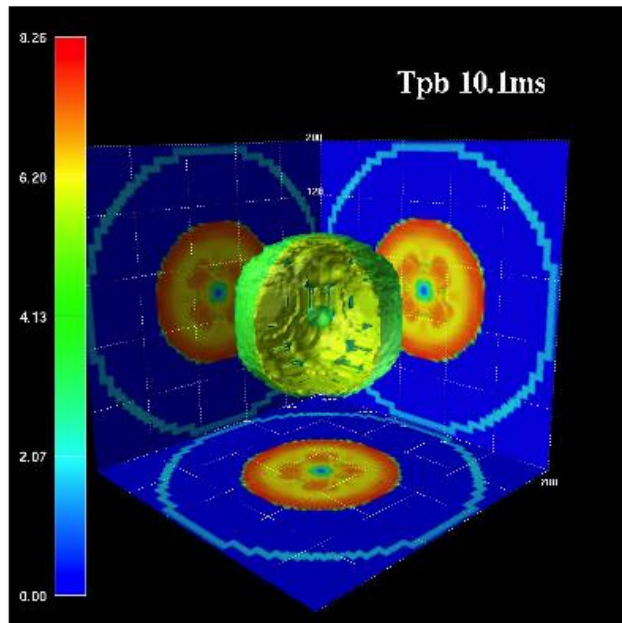
❖ 8^3 個のAMR box(8^3 cells)の8段階多層構造($dx_{\min} \sim 600\text{m}$)

❖ 計算は天文台Cray XT4 (256core) で $\sim 2.5\text{ms}/1\text{day}$ (GR)

4. $15M_{\odot}$ におけるニュートリノ加熱

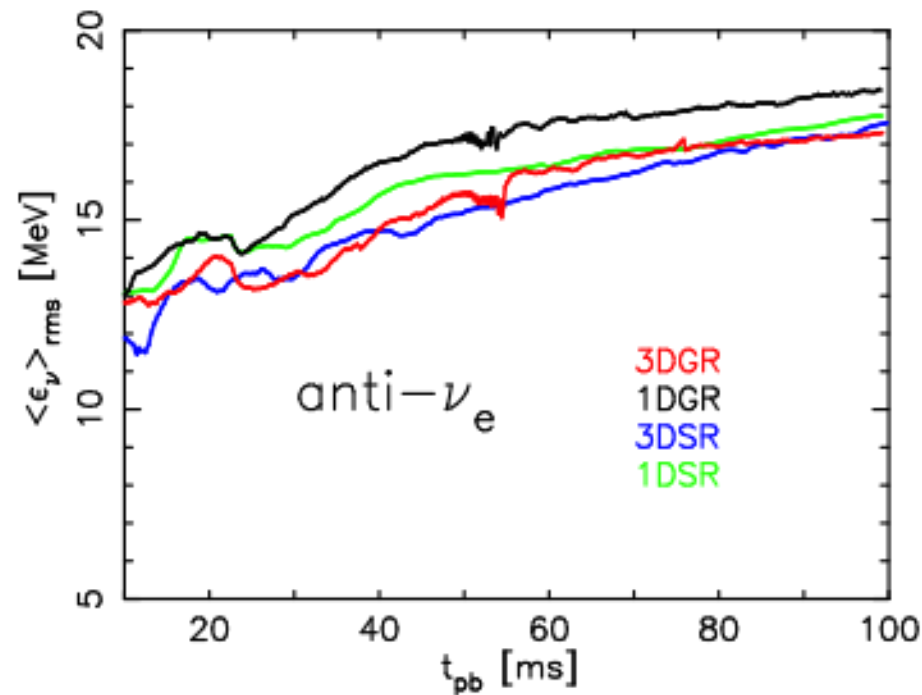
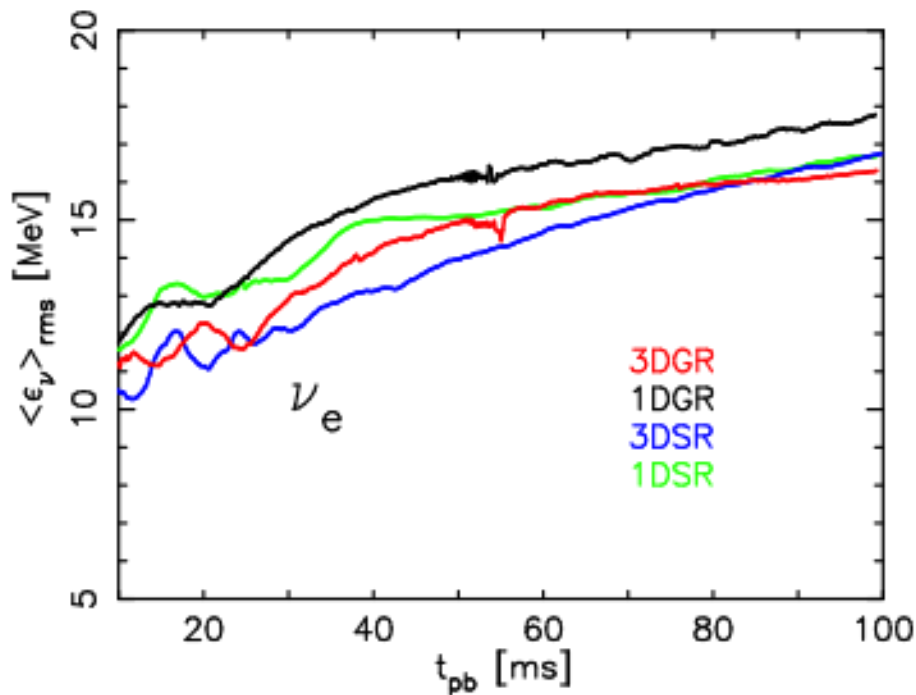


4. $15M_{\odot}$ におけるニュートリノ加熱



4. $15M_{\odot}$ におけるニュートリノ加熱

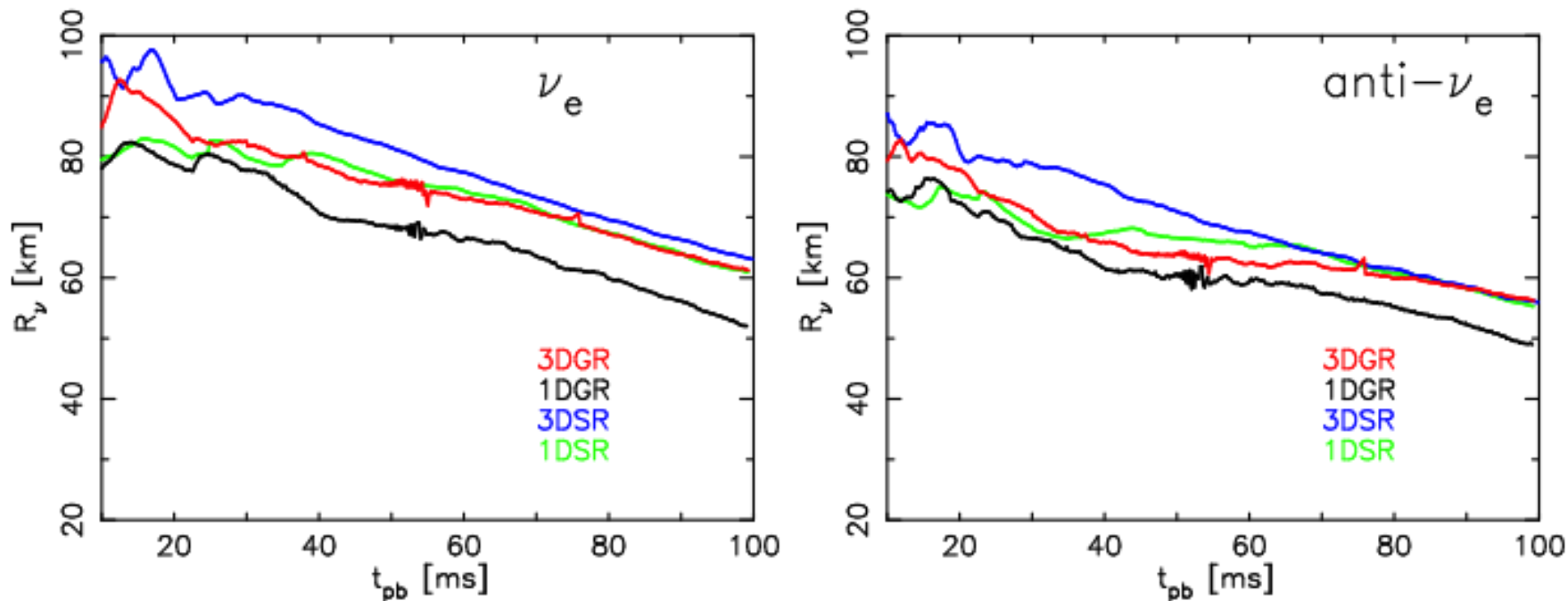
ニュートリノエネルギー



ニュートリノのエネルギーは: $\left\{ \begin{array}{l} \text{SR} \rightarrow \text{GR} \text{にすると高くなる} \\ \text{3D} \rightarrow \text{1D} \text{にすると高くなる} \end{array} \right.$

4. $15M_{\odot}$ におけるニュートリノ加熱

ニュートリノ球の位置



3Dよりも1D
SRよりもGR

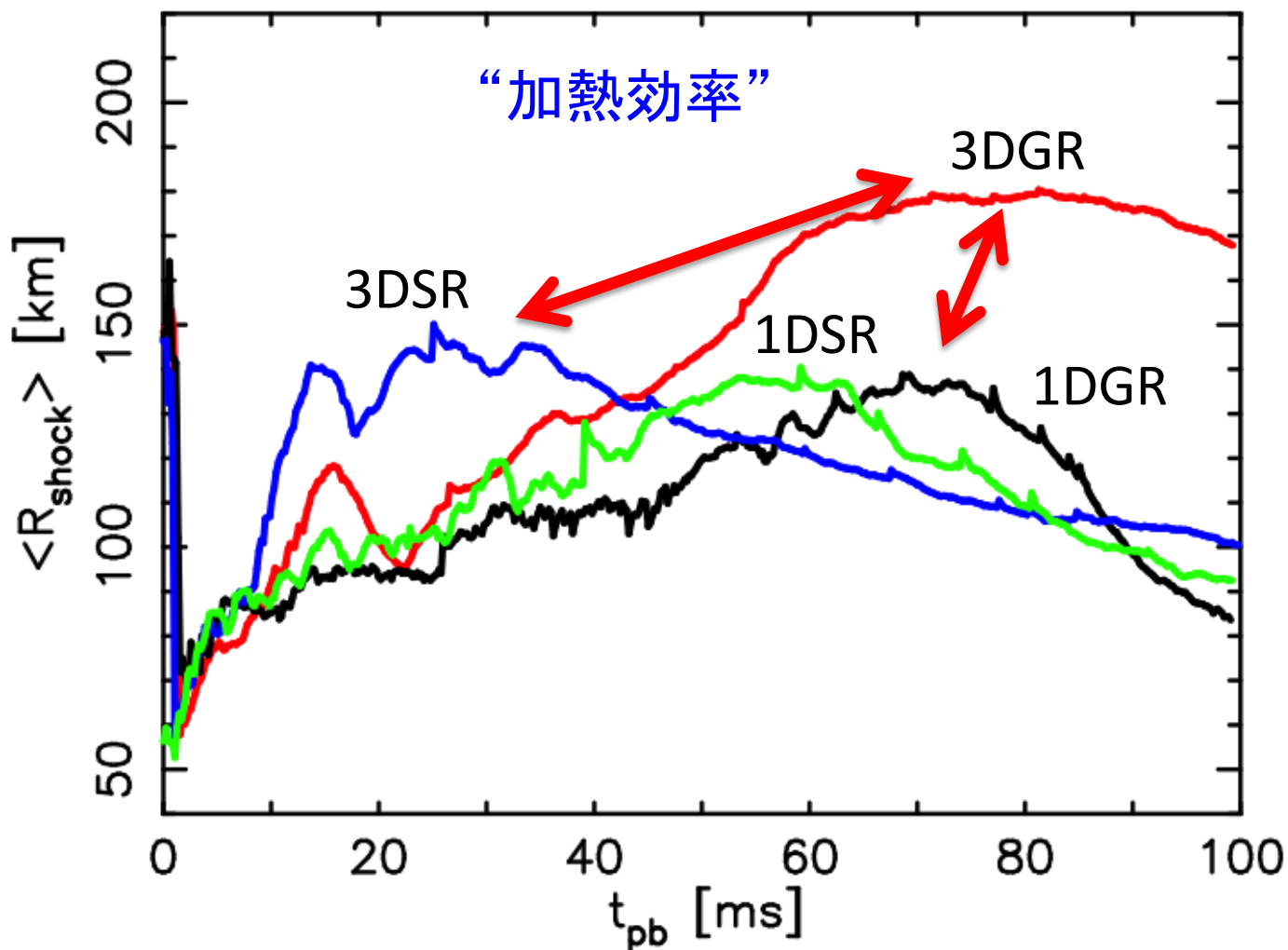
ではニュートリノ球がより内側に形成される。



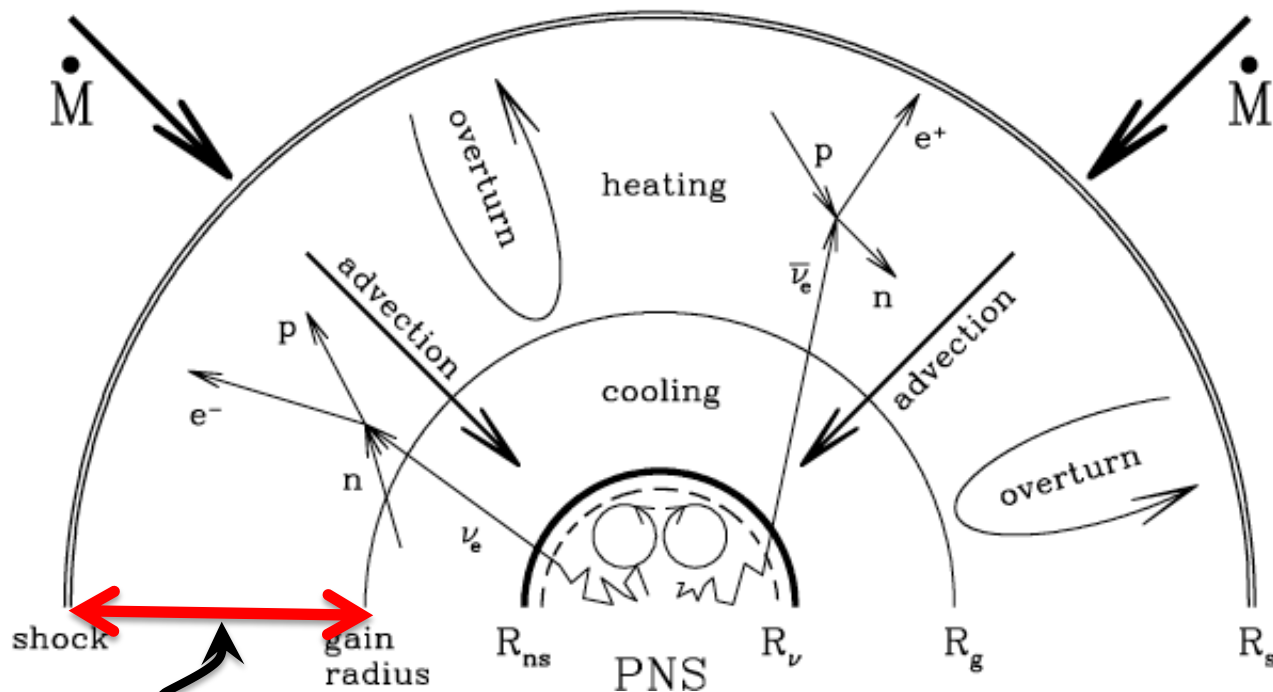
ニュートリノエネルギーが上がる

4. $15M_{\odot}$ におけるニュートリノ加熱

GR効果で重力がきつくなるというデメリットがあるが、その分加熱に重要なニュートリノエネルギーは上昇。
結果として3DGRはニュートリノ加熱に有利か？



4. $15M_{\odot}$ におけるニュートリノ加熱



Janka, '01

$$\tau_{\text{res}} \equiv \begin{cases} \frac{r_{\text{gain}}(\theta, \phi) - r}{v^r} & \text{for } v^r < 0 \\ \frac{r_{\text{shock}}(\theta, \phi) - r}{v^r} & \text{for } v^r \geq 0 \end{cases}$$

加熱効率 $\equiv \frac{\tau_{\text{heat}}}{\tau_{\text{res}}}$

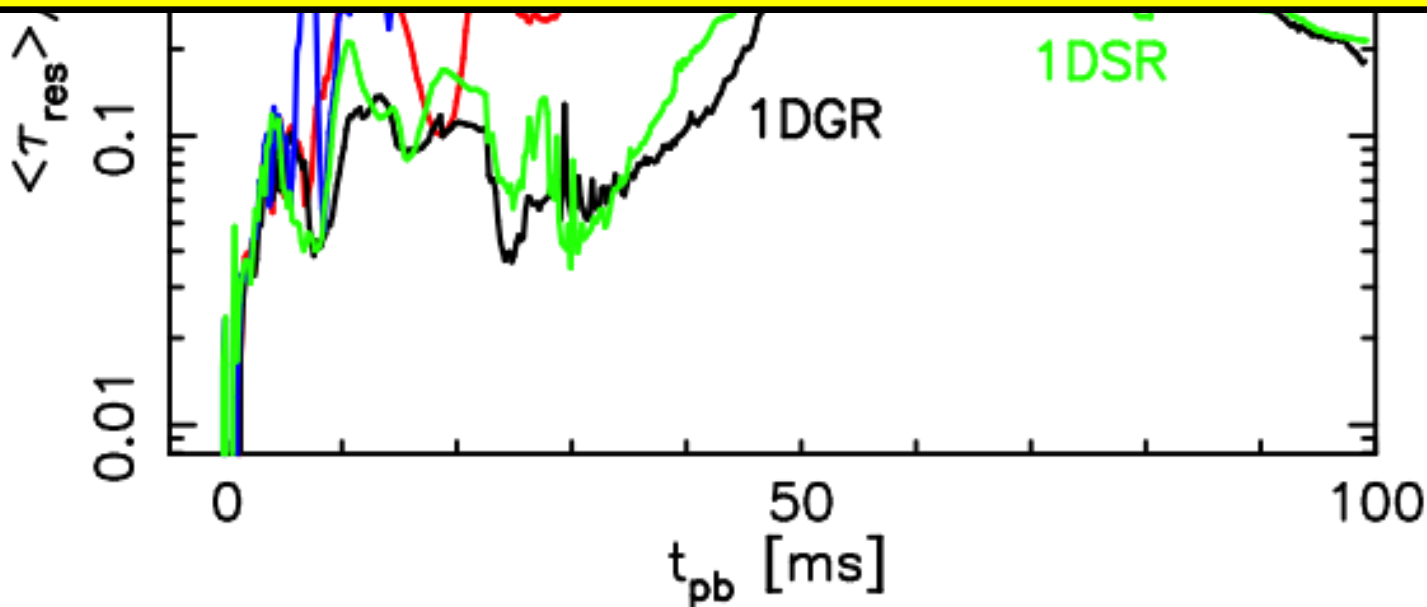
$$\tau_{\text{heat}} \equiv \frac{-e_{\text{bind}}}{Q}$$

binding energyがニュートリノ加熱により0になるまでの時間

4. $15M_{\odot}$ におけるニュートリノ加熱



1. GR効果によりニュートリノエネルギーが上昇
→ τ_{heat} が小さくなる
2. 3次元の対流効果で τ_{res} が延びる



まとめ

- ニュートリノ輻射入りの3DGRMHDコードの開発
- コアバウンス後100msの初期段階において
3DGRはニュートリノ加熱に有利
- 理由は3DGRはニュートリノエネルギーが高く、
結果的に加熱の効率が一番良い